

- у системах типу АСР<sub>2</sub> показники якості ( $Y_{mg}$ ,  $J_{kg}$ ) регулювання є найгіршими, тому орієнтація деяких виробників контролерів на забезпечення можливості реалізації такого виду систем виглядає необґрунтованою;

- за показниками  $Y_{mg}$ ,  $U_{mg}$ , а у переважній більшості випадків і за  $J_{kg}$ , найкращою є система типу АСР<sub>3</sub>, і це потрібно враховувати, проектуючи алгоритмічне забезпечення контролерів, а також під час практичної реалізації систем регулювання;

- тривалість перехідних процесів у всіх типах АСР приблизно однакова (рис.2-рис.5).

Виконані нами розрахунки показали, що аналогічні висновки справедливі також для систем з іншими об'єктами та реальними ПД-регуляторами, передавальні функції яких мають дифскладову з фільтром другого порядку.

Проводилися також дослідження впливу змін динаміки об'єкта на якість процесів регулювання у системах різної структури, які підтвердили, що поряд з оптимізацією параметрів ПД-регулятора ефективним методом покращання якості регулювання є його використання за схемою послідовно-паралельної корекції типу АСР<sub>3</sub>, при цьому фактично не вимагається ніяких додаткових затрат.

Якщо описаний підхід все ж не забезпечує виконання поставлених вимог щодо якості регулювання, необхідно переходити до складніших – каскадних або комбінованих структур АСР.

1. Острем К., Виттенмарк Б. Системы управления с ЭВМ: Пер. с англ. М., 1987. 2. Изерман Р. Цифровые системы управления: Пер. с англ. М., 1984. 3. Ротач В.Я. Теория автоматического управления теплоэнергетическими процессами. М., 1985. 4. Ротач В.Я. Программы определения передаточных функций объектов управления по переходным характеристикам // Теплоэнергетика. 1995. № 11. С.75 - 80. 5. Шавров А.В., Солдатов В.В. Многокритериальное управление в условиях статистической неопределенности. М., 1990. 6. Ковела І.М. Багатокритеріальна параметрична оптимізація неперервних АСР з типовими лінійними регуляторами // Вісн. ДУ "Львівська політехніка". 1998. № 324. С.3-9.

УДК 621.317

## МАТЕМАТИЧНА МОДЕЛЬ ІНСТРУМЕНТАЛЬНОЇ ПОХИБКИ ВИМІРЮВАЛЬНОЇ СИСТЕМИ ТОМОГРАФІЇ ЕЛЕКТРИЧНОЇ ПРОВІДНОСТІ

© Дорожовець М.М., 2000

ДУ "Львівська політехніка", кафедра "Інформаційно-вимірювальна техніка"

**Запропоновано математичну модель систематичних та випадкових похибок вимірювальної схеми з еквіпотенціальними електродами. Отримано кореляційну матрицю інструментальних похибок. Показано різний вплив**

**систематичних і випадкових похибок на похибку відтворення просторового розподілу електричної провідності.**

**The mathematical model of the systematic and random errors of the measuring scheme with the equipotential electrodes is proposed in this paper. The correlation matrix of the instrumental errors is presented. The difference influence of the systematic and random errors on reconstruction error of the electrical conductivity distribution is shown.**

**1. Вступ.** Електроімпедансну томографію застосовують в техніці та медицині для відтворення просторового розподілу електричної провідності середовища та інших пов'язаних з нею величин за результатами прямого чи непрямого вимірювання зовнішніх міжелектродних провідностей або електродних струмів чи потенціалів [1-4]. Отримані результати вимірювань застосовують в реконструкційному ітераційному алгоритмі, в якому на  $k$ -й ітерації прирости провідності елементів  $dg$  на різних ділянках середовища знаходять за допомогою регуляризованого методу найменших квадратів за виразом [1-4]

$$d\mathbf{g}^{(k)} = \left[ \left( \mathbf{J}_{(k)}^T \mathbf{J}_{(k)} + \mu_{(k)} \mathbf{I}_1 \right)^{-1} \mathbf{J}_{(k)}^T \right] \cdot d\mathbf{I}^{(k)} = \left[ \mathbf{HES}_{(k)}^{-1} \mathbf{J}_{(k)}^T \right] \cdot d\mathbf{I}^{(k)} \quad (1)$$

де  $d\mathbf{I}$  – вектор різниць розрахованих та вимірюваних електродних струмів;  $\mathbf{J}_{(k)}$  – матриця Якобі, знайдена за результатами багаторазового розв'язування на  $k$ -й ітерації прямої задачі як відношення приростів електродних струмів до приростів провідностей апроксимаційних елементів;  $\mathbf{HES} = \mathbf{J}^T \mathbf{J} + \mu_{(k)} \mathbf{I}_1$  – гесіан,  $\mu_{(k)}$  – параметр регуляризації;  $\mathbf{I}_1$  – одинична діагональна матриця.

З погляду простоти і гарантованої стабільності розв'язування прямої задачі ефективною є екіпотенціальна схема зовнішніх електродів з вимірюванням електродних струмів [2,3]. Типова кількість зовнішніх вимірювальних електродів становить 8-16 і навіть до 32, однак для більшої наочності отримання виразів похибок розглянемо спрощену 4-електродну схему формування електродних струмів (рис.1). У такій схемі всі електроди, крім одного, мають однаковий потенціал, наприклад, нульовий або  $U_0$ , а один електрод – навпаки,  $U_0$  чи нульовий.

Для формування електродних струмів при відомому потенціалі електродів застосовують операційні підсилювачі (ОП). Безпосередньо вимірюваними є спади напруги  $U_N$  на еталонних резисторах  $R_N$  зворотного зв'язку в колі формувачів електродних струмів. Ці напруги безпосередньо подають на вхід вимірювального каналу, що складається з інструментального диференціального підсилювача та АЦП (рис.2).

Завдяки екіпотенціальності електродів всі струми замикаються на один базовий електрод, а решта міжелектродних струмів теоретично відсутні.

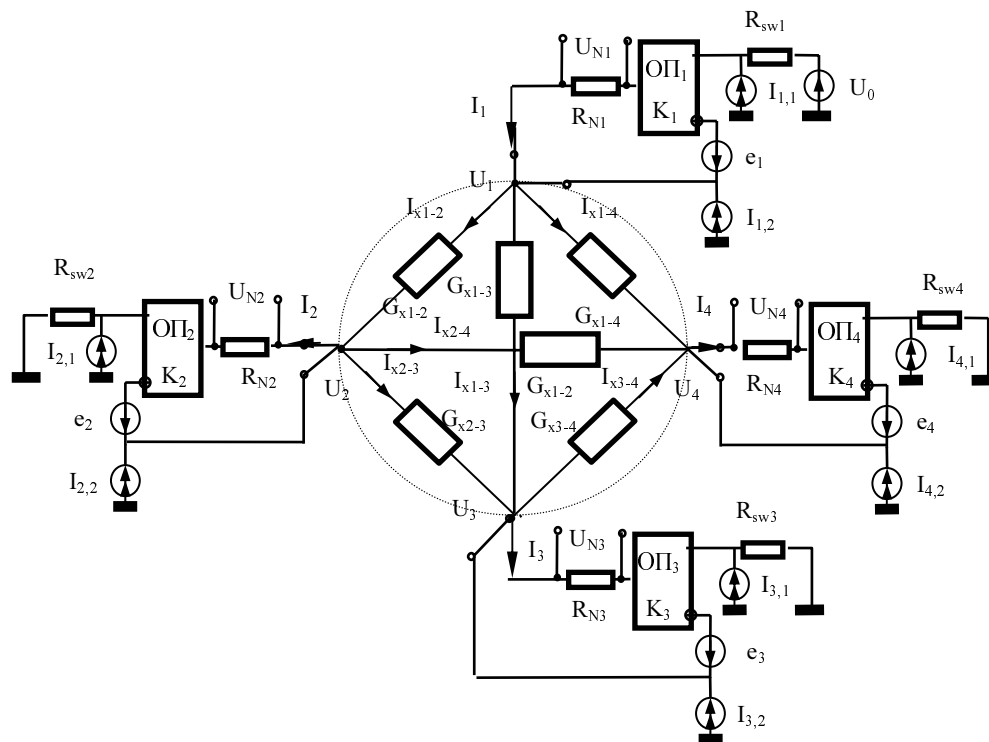


Рис.1.Схема формування електродних струмів.

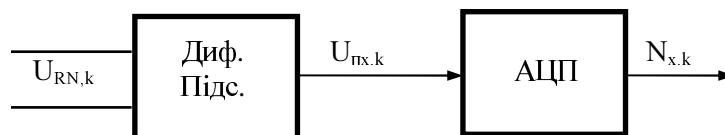


Рис.2. Вимірювальний канал.

Очевидно, що формування та вимірювання електродних потенціалів і струмів супроводжуються систематичними та випадковими похибками і вони спричиняють інструментальну складову похибки відтворення образу електричної провідності. Створення математичної моделі такої похибки та її аналіз є темою цієї статті.

**2. Вираз похибки формування та вимірювання електродних струмів.** Переважна більшість методик опрацювання результатів сумісних та сукупних вимірювань орієнтована на статистичну незалежність похибок окремих результатів [5-6]. На жаль, в нашому випадку така умова не виконується. Це зумовлено тим, що на формування електродних струмів та результати їх вимірювань впливають в різних комбінаціях одні і ті самі фактори. Зокрема, при  $n$  вимірювальних електродах маємо загалом  $n(n-1)=2M$  вимірюваних струмів, на які впливають параметри  $n$  операційних підсилювачів, ввімкнених в коло формувача одночасно. Тому похибки вимірювань електродних струмів виявляються корельованими.

Для отримання явного виразу похибки в залежності від параметрів схем розглянемо номінальну функцію тракту формування та вимірювання електродних струмів, яка може бути записана у вигляді:

$$N_{xk-m} = K_{AH} K_{PH} I_{xk-m} R_{NH}, \quad (2)$$

де  $N_{xk-m}$  – номінальний результат аналого-цифрового перетворення електродного струму  $I_{xk-m}$  – струм, що протікає між електродами  $k$  і  $m$ ,  $I_{xk-m} = U_{0H} G_{xk-m}$  ( $G_{xk-m}$  – еквівалентна міжелектродна провідність);  $U_{0H}$  – номінальний потенціал базового електрода;  $K_{AH}$  – номінальний коефіцієнт перетворення АЦП;  $K_{PH}$  – номінальний коефіцієнт диференціального підсилювача;  $R_{NH}$  – номінальний опір еталонного резистора в колі зворотного зв'язку ОП.

Формувач електродних струмів характеризується похибкою струму  $\Delta I_{\phi x}$ ; еталонна напруга – похибкою  $\Delta U_0 = \delta U U_{0H}$ , де  $\delta U$  – її відносна похибка; еталонний резистор – похибкою  $\Delta R_N = \delta_N R_{NH}$ , де  $\delta_N$  – його відносна похибка. Підсилювач характеризується похибкою коефіцієнта підсилення  $\Delta_{KPI} = \delta_{PI} K_{PH}$  (де  $\delta_{PI}$  – його відносна похибка), а також адитивними систематичною  $\Delta_{PC}$  та випадковою  $\Delta_{PB}$  (шумовою) похибками. Аналогічно АЦП характеризується похибкою коефіцієнта перетворення  $\Delta_{KA} = \delta_A K_{AH}$  (де  $\delta_A$  – його відносна похибка), і адитивними систематичною  $\Delta_{AC}$  та випадковою  $\Delta_{AB}$  похибками. При чому в останню складову включені як шумова похибка, так і похибка квантування і диференційної нелінійності.

За таких умов фактичний результат вимірювання струму

$$N_x = \left\{ \left( I_x + \Delta I_{\phi x} \right) R_{NH} (1 + \delta_N) + \Delta_{PC} + \Delta_{PB} \right\} K_{PH} (1 + \delta_A) + \Delta_{AC} + \Delta_{AB} \left\{ K_{AH} (1 + \delta_A) \right\}. \quad (3)$$

Нехтуючи взаємним впливом похибок як величин другого і вищого порядків малості, з (3) та (2) знайдемо вираз похибки вимірювання електродних струмів

$$\Delta N_x = K_{AH} \left\{ \Delta_{AC} + \Delta_{AB} + K_{PH} \left[ \Delta_{PC} + \Delta_{PB} + R_{NH} \left( \Delta I_{\phi x} + (\delta_A + \delta_{PI} + \delta_N + \delta_U) I_x \right) \right] \right\}. \quad (4)$$

Для зручності подальшого аналізу перейдемо до виразу зведеної похибки, використавши як нормувальне значення струму  $I_{x,H}$

$$\gamma_x = \frac{\Delta N_x}{N_{x,H}} = \gamma_{AC} + \gamma_{AB} + \gamma_{PC} + \gamma_{PB} + \frac{\Delta I_{\phi x}}{I_{x,H}} + (\delta_A + \delta_{PI} + \delta_N + \delta_U) \frac{I_x}{I_{x,H}}, \quad (5)$$

де  $\gamma_{AC} = \frac{\Delta_{AC}}{U_{ABXH}}$ ;  $\gamma_{AB} = \frac{\Delta_{AB}}{U_{ABXH}}$ ;  $\gamma_{PC} = \frac{\Delta_{PC}}{U_{PBXH}}$ ;  $\gamma_{PB} = \frac{\Delta_{PB}}{U_{PBXH}}$  – зведені адитивні систематичні та випадкові похибки підсилювача та АЦП;  $U_{ABXH} = K_{PH} R_{NH} I_{x,H}$ ,  $U_{PBXH} = R_{NH} I_{x,H}$  – нормувальні значення вхідних напруг АЦП та підсилювача. Тобто вираз похибки вимірювання електродного струму

$$\Delta I_x = (\gamma_{AC} + \gamma_{AB} + \gamma_{PC} + \gamma_{PB}) I_{x,H} + \Delta I_{\phi x} + (\delta_A + \delta_{PI} + \delta_N + \delta_U) I_x \quad (6)$$

У процесі роботи томографічної системи всі вимірювання одного циклу відбуваються за короткий інтервал часу (частки чи одиниці секунд), тому при кожному окремому вимірюванні адитивні систематичні похибки АЦП та підсилювача, мультиплікативні похибки АЦП та підсилювача, похибки еталонних напруги та резистора залишаються практично без змін. Тобто вони є однаковими для всіх

вимірювань, тому похибки формування різних електродних струмів є взаємно залежними. Однак різні фактори похибок при цьому є взаємно незалежними величинами.

Адитивні похибки формувача електродних струмів, диференціального підсилювача та АЦП, що зумовлені швидкозмінними шумовими процесами, а також ефектами квантування в послідовних результатах вимірювання є некорельованими випадковими похибками.

Узагальненою характеристикою похибок відтворення всієї сукупності елементів провідності (вектор  $\Delta g$ ) є кореляційна матриця похибок [5,6]. Відповідно до (1) цю матрицю можна знайти так [5-6]:

$$\mathbf{R}_g = M[\Delta \mathbf{g} \cdot \Delta \mathbf{g}^T] = M\left[\mathbf{HES}^{-1} \mathbf{J}^T \Delta \mathbf{I}_x \cdot \left(\mathbf{HES}^{-1} \mathbf{J}^T \Delta \mathbf{I}_x\right)^T\right], \quad (7a)$$

і в нашому випадку вона набирає вигляду

$$\mathbf{R}_g = \mathbf{HES}^{-1} \cdot \mathbf{J}^T \cdot \left\{ I_{xH}^2 \left[ \left( \sigma_{\gamma Ac}^2 + \sigma_{\gamma Ic}^2 \right) \cdot \mathbf{E} + \left( \sigma_{\gamma Ag}^2 + \sigma_{\gamma Ig}^2 \right) \cdot \mathbf{I} \right] + \mathbf{R}_{\Delta I_\phi}(p, q) + \right. \\ \left. + \mathbf{I}_x \left( \sigma_{\delta Ag}^2 + \sigma_{\delta Ig}^2 + \sigma_{\delta R_x}^2 + \sigma_{\delta U_0}^2 \right) \cdot \mathbf{I}_x^T \right\} \cdot \mathbf{J} \cdot \mathbf{HES}^{-1} \quad (7b)$$

де  $\mathbf{I}$  – одинична діагональна матриця;  $\mathbf{E}$  – квадратна матриця з одиниць, розмірність яких  $M \times M$ , тобто визначається кількістю незалежних результатів вимірювань струму;  $\mathbf{R}_{\Delta I_\phi}(p, q)$  – кореляційна матриця похибок формування електродних струмів;  $p, q$  – номери електродів.

Як бачимо з (7б), для оцінювання кореляційної матриці похибок відтворення провідності необхідно розрахувати кореляційну матрицю похибок формування електродних струмів. Проаналізуємо спочатку вплив адитивних факторів операційних підсилювачів. До них віднесемо шумові ЕРС  $e_{iш}$  та ЕРС зміщення  $e_i$ , шумові  $i_{i1ш}$ ,  $i_{i2ш}$  та вхідні струми  $i_{i1}$ ,  $i_{i2}$  ОП.

При даному ракурсі вимірювання для заданого номера електрода з потенціалом  $U_0$  (в нашому випадку – це перший електрод) інформативними є струми решти електродів з нульовим потенціалом, а струм першого електрода є сумою цих струмів. Відповідно до схеми на рис.1 вимірювані електродні струми  $I_{2(1)}$ ,  $I_{3(1)}$ ,  $I_{4(1)}$  становлять

$$I_{2(1)} = U_0 G_{x(2-1)} + i_{22} + (e_2 - e_2 + i_{11} r_{sw1} - i_{21} r_{sw2}) G_{x(2-1)} + \\ + (e_3 - e_3 + i_{31} r_{sw3} - i_{21} r_{sw2}) G_{x(2-3)} + (e_4 - e_2 + i_{41} r_{sw4} - i_{21} r_{sw2}) G_{x(2-4)} \quad ; \quad (8.1)$$

$$I_{3(1)} = U_0 G_{x(3-1)} + i_{32} + (e_1 - e_3 + i_{11} r_{sw1} - i_{31} r_{sw3}) G_{x(3-1)} + \\ + (e_2 - e_3 + i_{21} r_{sw2} - i_{31} r_{sw3}) G_{x(3-2)} + (e_4 - e_3 + i_{41} r_{sw4} - i_{31} r_{sw3}) G_{x(3-4)} \quad ; \quad (8.2)$$

$$I_{4(1)} = U_0 G_{x(4-1)} + i_{42} + (e_1 - e_4 + i_{11} r_{sw1} - i_{41} r_{sw4}) G_{x(4-1)} + \\ + (e_2 - e_4 + i_{21} r_{sw2} - i_{41} r_{sw4}) G_{x(4-2)} + (e_3 - e_4 + i_{31} r_{sw3} - i_{41} r_{sw4}) G_{x(4-3)} \quad . \quad (8.3)$$

У цих виразах враховано рівність взаємних провідностей  $G_{x(i-j)} = G_{x(j-i)}$ .

У загальному випадку для довільної кількості електродів струм  $m$ -го електрода при базовому  $k$ -му знайдемо за аналогією з (8)

$$I_{xm(k)} = U_0 G_{x(m-k)} + i_{m2} + \sum_{i \neq m} (e_i - e_m + i_{i1} r_{swi} - i_{m1} r_{swm}) G_{x(m-i)} \quad (9)$$

Звідси знайдемо абсолютну похибку  $m$ -го електродного струму, зумовлену напругами зміщення та вхідними струмами операційних підсилювачів.

$$\Delta I_{xm(k)}(e, i) = i_{m2} + \sum_{i \neq m} (e_i - e_m + i_{i1} r_{swi} - i_{m1} r_{swm}) G_{x(m-i)}. \quad (10)$$

З (10) бачимо, що завдяки адитивному впливу вхідних струмів та напруги зміщення ОП ця складова похибки не залежить від номера  $k$  базового електрода.

Для визначення впливу обмеження зверху значень коефіцієнтів підсилення ОП знехтуємо впливом їх напруг зміщення та вхідних струмів. У такому разі для першого вузла потенціал  $U_1$  зв'язаний з вихідною напругою  $U_{\text{вих1}}$  ОП<sub>1</sub> та його вхідною напругою

$$U_0 \text{ залежністю: } U_1 = U_0 - \frac{U_{\text{вих1}}}{K_1} = U_{\text{вих1}} - R_{N1} \sum_{i=1}^n I_{x(1-i)}, \text{ звідси для } k\text{-го вузла}$$

$$U_{\text{вих}k} = \frac{U_0 + R_{N1} \sum_{i \neq k} I_{x(k-i)}}{1 + 1/K_k} = \frac{1 + R_{N1} \sum_{i \neq k} G_{x(k-i)}}{1 + 1/K_k} U_0 \quad \text{і потенціал цього вузла}$$

$$U_k = U_0 - \frac{U_{\text{вих}k}}{K_k} = U_0 - \frac{U_0 + R_{Nk} \sum_{i \neq k} I_{xk-i}}{K_k + 1}. \text{ Потенціал } m\text{-го вузла можна отримати}$$

аналогічно, якщо замість  $U_0$  поставити нульовий потенціал. Вимірюваний струм між  $k$ -м та  $m$ -м електродами пропорційний до різниці потенціалів між цими електродами

$$I_{m(k)}(K_{\Pi}) = (U_k - U_m) G_{x(k-m)} = \left[ 1 - \frac{1 + R_{Nk} \sum_{i \neq k} G_{x(k-i)}}{K_k + 1} + \frac{R_{Nm} \sum_{i \neq m} G_{x(m-i)}}{K_m + 1} \right] I_{x(k-m)}$$

і з нього отримаємо вираз похибки, що зумовлена обмеженням коефіцієнтів підсилення

$$\Delta I_{m(k)}(K_{\Pi}) = I_{m(k)}(K_{\Pi}) - I_{x(k-m)} = - \left[ \frac{1}{K_k + 1} (1 + R_N G_{6k}) - \frac{1}{K_m + 1} R_N G_{xk-m} \right] I_{x(k-m)}, \quad (11)$$

де позначено  $G_{6k} = \sum_{i \neq k}^n G_{xk-i}$  - власну провідність  $k$ -го вузла, яка є сумою всієї решти  $n-1$  міжелектродних провідностей до даного вузла.

Як і слід було очікувати, ця складова похибки формування  $m$ -го електродного струму завдяки мультиплікативності впливу коефіцієнтів підсилення ОП залежить від номера базового електрода ( $k$ ).

Вираз результуючої похибки схеми формування електродних струмів знайдемо як суму (10) та (11)

$$\begin{aligned} \Delta I_{x\phi} &= \Delta I_{m(k)}(e, i) + \Delta I_{m(k)}(K_{\Pi}) = \\ &= i_{m2} + \sum_{i \neq m} (e_i + i_{i1} r_{swi} - e_m - i_{m1} r_{swm}) G_{xm-i} - \left[ \frac{1}{K_k + 1} (1 + R_N G_{6k}) - \frac{1}{K_m + 1} R_N G_{xk-m} \right] I_{x(k-m)}. \end{aligned} \quad (12)$$

**3. Числові характеристики похибки формування струмів.** Приймаємо, що різні фактори похибок є взаємно незалежними випадковим величинами, що характеризуються

математичними сподіваннями  $m_{e_j} = m_e$ ,  $m_{i1_j} = m_{i2_j} = m_i$  і  $m_{(1/K_j)} = m_{(1/K_{\Pi})}$  дисперсіями систематичних  $D_{e_j} = \sigma_e^2$ ;  $D_{i1_j} = D_{i2_j} = \sigma_i^2$ ,  $D_{(1/K_j)} = \sigma_{\Delta K}^2 / (K_{\Pi} + 1)^4$  та шумових

$D_{e_{uj}} = \sigma_{e_{uj}}^2$ ,  $D_{i1_{uj}} = D_{i2_{uj}} = \sigma_{i_{uj}}^2$  складових, а також нульовими взаємними кореляційними моментами  $M[e_i e_j] = 0$ ;  $M[i_{1(2)i} i_{1(2)j}] = 0$ ;  $M[(1/K_{\Pi i})(1/K_{\Pi j})] = 0$  ( $i \neq j$ ).

У процесі налагодження формувача електродних струмів його систематичні похибки усуваються і залишаються, головним чином, температурні нестабільності параметрів ОП та суто випадкові шумові напруги та струми ОП. В кожного індивідуального екземпляра ОП кількісні характеристики параметрів різні, однак, враховуючи однотипність ОП, що характеризуються граничними значеннями  $(\partial e / \partial \Theta)_{\text{гр}}$  напруги зміщення,  $(\partial i / \partial \Theta)_{\text{гр}}$  вхідних струмів та  $\Delta K_{\Delta \text{гр}}$  коефіцієнтів підсилення, можемо оцінити їх дисперсії. Для

систематичних факторів:  $\sigma_e^2 = \frac{1}{3} \left( \frac{\partial e}{\partial \Theta} \right)_{\text{гр}}^2 (\Delta \Theta)^2$ ;  $\sigma_i^2 = \frac{1}{3} \left( \frac{\partial i}{\partial \Theta} \right)_{\text{гр}}^2 (\Delta \Theta)^2$ ;  $\sigma_{(1/K)}^2 = \frac{1}{3} \frac{\Delta_{K_{\text{гр}}}^2}{(K_{\Pi} + 1)^4}$ ,

а для випадкових шумових факторів:  $D_{e_{\text{ш}}} = N_e \Delta f_e$ ;  $D_{i_{\text{ш}}} = N_i \Delta f_e$ , де  $N_e$ ,  $N_i$  – спектральні густини шумових напруги та струму;  $\Delta f_e$  – ефективна ширина смуги пропускання ОП, що визначається його амплітудно-частотною характеристикою з урахуванням зворотних зв'язків.

Відповідно до (12) математичне сподівання похибки  $m$ -го електродного струму при  $k$ -му базовому електроді

$$m_{\Delta_{m(k)}} = -m_{(1/K)} (1 + R_N (G_{bk} - G_{xk-m})) I_{x(k-m)}, \quad (13)$$

і коваріаційна матриця похибок формування  $m$ -го і  $p$ -го електродних струмів при  $k$ -му базовому електроді

$$R_{\Delta_{(k)}}(m, p) = \sigma_i^2 + \delta_{m-p} \sigma_{\text{ш}}^2 + (\sigma_e^2 + \delta_{m-p} \sigma_{\text{ш}}^2 + (\sigma_i^2 + \delta_{m-p} \sigma_{\text{ш}}^2) r_{sw}^2) G_{m,p}^2 + \sigma_{\Delta K}^2 \frac{(1 + R_N G_{bk})^2}{(K_{\Pi} + 1)^2} I_{x(k-m)} I_{x(k-p)}, \quad (14)$$

де  $G_{m,p}^2 = G_m^T G_p - \bar{\delta}_{m-p} G_{m-p} (G_{\text{em}} + G_{\text{ep}}) + \delta_{m-p} G_{\text{em}} G_{\text{ep}}$ ;  $G_{\text{em}} = \sum_{i \neq m}^n G_{x(m-i)}$ ,

$G_{\text{ep}} = \sum_{i \neq p}^n G_{x(p-i)}$  – власні провідності вузлів  $m$  і  $p$ ;  $\delta(\zeta) = \begin{cases} 1, & \zeta = 0; \\ 0, & \zeta \neq 0. \end{cases}$  – символ

(функція) Кронекера;  $\bar{\delta}_{m-p}$  – інверсна функція Кронекера.

Підставляючи отримані значення у (7), одержимо:

$$\mathbf{R}_g = \mathbf{HES}^{-1} \mathbf{J}^T \left\{ I_{xH}^2 \left[ (\sigma_{\gamma A \beta}^2 + \sigma_{\gamma \Pi \beta}^2 + \sigma_{\gamma \Phi \beta}^2) \mathbf{I} + (\sigma_{\gamma A c}^2 + \sigma_{\gamma \Pi c}^2 + \sigma_{\gamma \Phi c}^2) \mathbf{E} \right] + \right. \\ \left. + \mathbf{I}_x (\sigma_{\delta A \beta}^2 + \sigma_{\delta \Pi \beta}^2 + \sigma_{\delta R_N}^2 + \sigma_{\delta U_0}^2) \mathbf{I}_x^T + \sigma_{\delta K}^2 \mathbf{R}_{I(p,m)} \right\} \mathbf{J} \cdot \mathbf{HES}^{-1} \quad (15)$$

$$\text{де } \sigma_{\gamma\phi c}^2 = \frac{\sigma_i^2 + (\sigma_e^2 + \sigma_i^2 r_{sw}^2) G_{\max}^2}{I_{xH}^2}, \quad \sigma_{\gamma\phi e}^2 = \frac{\sigma_{iu}^2 + (\sigma_{eu}^2 + \sigma_{iu}^2 r_{sw}^2) G_{\max}^2}{I_{xH}^2},$$

$$\sigma_{\delta k}^2 = \frac{\sigma_{\Delta K}^2 (1 + R_N G_{\delta k})^2}{(K_{\Pi} + 1)^4} - \text{дисперсії зведених адитивних (систематичних і випадкових)}$$

та мультиплікативної похибок формувача електродних струмів, причому у (15) прийнято  $G_{\max}^2 = \text{MAX}(G_{m,p}^2)$  – сталим найбільшим значенням міжелектродної

$$\text{провідності; } \mathbf{R}_{I(p,m)} = \begin{cases} \sum_{i=0}^{n-1} I_{x(i-p)} I_{x(i-m)} - 2I_{x(p-m)} (I_{xp} + I_{xm}), & m \neq p, \\ \sum_{i=0}^{n-1} (I_{x(i-p)})^2, & p = m. \end{cases}$$

Як впливає з (15), кореляційна матриця є сумою чотирьох різних складових:

- складова, зумовлена адитивними випадковими похибками, що відображає некорельовані шумові похибки (у (15) це діагональні складові матриці, незалежні від номера базового електрода);

- складова, зумовлена адитивними систематичними похибками (у (15) це сталі складові матриці, які не залежать від номера базового електрода);

- складова, що зумовлена мультиплікативними систематичними похибками (у (15) вони не залежать від номера базового електрода, але пропорційні до квадрата вимірюваних струмів);

- складова, що зумовлена мультиплікативними систематичними похибками (у (15) вони залежать від номера базового електрода, а також від струмів різних електродів);

Проведений нами аналіз показав, що при коефіцієнтах підсилення ОП понад  $(0.5 \dots 1)10^6$  і при невеликих просторових відхиленнях міжелектродних провідностей від їх середнього значення ця складова слабо залежить від коефіцієнтів підсилення і тому її можна віднести до суто мультиплікативної складової похибки, прийнявши її найбільше значення.

#### 4. Вирази кореляційних матриць похибок відтворення провідності елементів.

Враховуючи, що на останніх ітераціях параметр регуляризації прямує до нуля ( $\mu(k)=0$ , тобто гесіан у (1)  $\mathbf{HES}=\mathbf{J}^T\mathbf{J}$ , то з (15) кореляційна матриця випадкових адитивних похибок

$$R_{g-a,r} = I_{xH}^2 (\sigma_{\gamma A\delta}^2 + \sigma_{\gamma \Pi\delta}^2 + \sigma_{\gamma\phi\delta}^2) \mathbf{HES}^1. \quad (16)$$

Кореляційна матриця складової похибки відтворення провідності внаслідок систематичних адитивних похибок

$$R_{g-a,s} = I_{xH}^2 (\sigma_{\gamma A\delta}^2 + \sigma_{\gamma \Pi\delta}^2 + \sigma_{\gamma\phi\delta}^2) \mathbf{HES}^{-1} \mathbf{J}^T \mathbf{E} \cdot \mathbf{J} \cdot \mathbf{HES}^{-1}. \quad (17)$$

Нарешті, кореляційна матриця складової похибки, зумовленої систематичними мультиплікативними похибками (з урахуванням складової від обмеження коефіцієнтів підсилення ОП)

$$R_{g-m,s} = (\sigma_{\delta A\delta}^2 + \sigma_{\delta \Pi\delta}^2 + \sigma_{\delta R_N}^2 + \sigma_{\delta U_0}^2 + \sigma_{\delta K}^2) (\mathbf{g}_x \mathbf{g}_x^T). \quad (18)$$



Діагональні елементи кореляційних матриць (16)-(18) є дисперсіями відповідних складових похибки, а їх сума дорівнює дисперсії похибок відтворення окремих елементів провідності.

**5. Висновки.** За відомих якобіанів реконструкційних матриць, а також характеристик похибок формувачів та пристроїв вимірювань електродних струмів отримані вирази дають можливість апріорно оцінити очікувану інструментальну похибку відтворення провідності, або, навпаки, встановити вимоги щодо точності відповідних схмотехнічних пристроїв.

З отриманих виразів виходить, що на похибку відтворення найменшою мірою впливають мультиплікативні інструментальні похибки, оскільки у (18) не входить обернений гесіан. Що ж стосується адитивних похибок, то вплив шумових складових є значно більшим, ніж систематичних (обернений гесіан в (16) набуває значно більших значень, ніж добуток у (17)). Тому, будуючи вимірювальну схему, насамперед необхідно зменшити вплив випадкових шумів та завад, а також забезпечити малу похибку квантування АЦП, яка в сукупності результатів вимірювань виступає як випадкова.

1. Дорожовець М.М, Федорчук А.А., Петровська І.Р. Математичні засади прямої задачі томографії провідності // Вісник ДУ "Львівська політехніка". № 324. С.43-51. 2. Дорожовець М.М. Томографія електричної провідності з еквіпотенціальною схемою вимірювальних електродів // Вимірювальна техніка та метрологія. 1998. Вип.53. С.46-54. 3. Dorozhovets M., Stadnyk B, Zavgorodny V., Kowalczyk A Electrical Impedance Tomography System Based on Equipotential Electrodes // Proceedings of the XV Symposium Electromagnetic Phenomena in Nonlinear Circuits. Liege, Belgium, 1998. Pp.269-271. 4. Дорожовець М.М. Математичні проблеми реконструкції образів в технічній томографії / Вимірювальна техніка та метрологія. 1998. Вип.53. С.113-121. 5. Статистична обробка, результатів експериментів на микро-ЭВМ и программируемых калькуляторах / А.А.Костылев, П.В.Минаев, Ю.Д.Дорских, и др. Л., 1991. 6. Грановский В.А., Сирая Т.Н. Методы обработки экспериментальных данных при измерениях. Л. 1990.

УДК 001.4:389.1

## **АКРЕДИТАЦІЯ ЛАБОРАТОРІЙ: СУЧАСНА КОНЦЕПЦІЯ ТА ПЕРСПЕКТИВИ**

© Дружок В.М., 2000

Львівський державний центр стандартизації, метрології та сертифікації  
Держстандарту України

**Розглянуто основні положення чинного порядку акредитації  
вимірювальних лабораторій, питання взаємного визнання та міжнародної  
співпраці в цій сфері.**